



استفاده از نانوکپسول‌های حامل آستاگزانین میکروجلبک هماتوکوس با پوشش مالتودکسترین-کازئینات سدیم به عنوان جایگزین نیتریت سدیم در فرمولاسیون سویس معمولی و ارزیابی خصوصیات میکروبی و بافتی محصول

سکینه یگانه^{۱*}، سهیل ریحانی پول^۲

۱- استاد، گروه شیلات، دانشکده علوم دامی و شیلات، دانشگاه علوم کشاورزی و منابع طبیعی ساری، ساری، ایران.

۲- دانش آموخته دکتری تخصصی، گروه فراوری محصولات شیلاتی، دانشکده شیلات و محیط زیست،

دانشگاه علوم کشاورزی و منابع طبیعی گرگان، گرگان، ایران.

چکیده

اطلاعات مقاله

در تحقیق حاضر پس از استخراج آستاگزانین از میکروجلبک هماتوکوس (*Haematococcus pluvialis*) و نانو ریزپوشانی آن با پوشش ترکیبی مالتودکسترین-کازئینات سدیم، نانوکپسول‌های حامل با نسبت‌های مختلف، جایگزین نیتریت سدیم (حد مجاز 120 mg/kg) در فرمولاسیون سویس معمولی شدند. سپس خصوصیات میکروبی (شمارش باکتری‌های مزوفیل، سرماگر، انتروباکتریاسه، لاکتیک‌اسید و سودوموناس) و بافتی سویس‌های فرموله شده طی دوره نگهداری (۲۸ روز در دمای یخچال) مورد ارزیابی و مقایسه قرار گرفتند. نتایج نشان داد تیمارهایی که با نسبت‌های ۱ (30 mg/kg)، ۲ (60 mg/kg) و ۳ (90 mg/kg) به ۱ (60 mg/kg) نانوکپسول به نیتریت سدیم فرموله شده بودند (C و D)، در مقایسه با تیمار دارای 120 mg/kg نیتریت سدیم (A)، کارائی یکسانی از نظر توانایی مهار رشد و تکثیر گروه‌های باکتریایی دارند ($p > 0.05$) و در کل دوره نگهداری، حداقل شمارش باکتری‌ها مربوط به این تیمارها است ($p < 0.05$). تیمار حاوی 90 mg/kg نانوکپسول و 30 mg/kg نیتریت سدیم (E) در مهار برخی از گروه‌های باکتریایی تا اواسط دوره نگهداری قابلیت در حد تیمارهای A، C و D داشت ($p < 0.05$). همچنین سطح شمارش در تیمار صرفاً حاوی نانوکپسول (120 mg/kg)، به صورت قابل ملاحظه‌ای کمتر از شاهد بود ($p < 0.05$). نتایج بخش سنجش خصوصیات بافتی تیمارها نشان داد که اثر نانوکپسول‌های حامل آستاگزانین بر افزایش ظرفیت نگهداری آب سویس‌ها و همچنین کاهش افت پخت، سختی، صمغیت، قابلیت جویدن و برش بافت بیشتر از نیتریت سدیم است ($p < 0.05$). شاخص‌های قابلیت ارتجاعی، پیوستگی میان‌بافتی و تخلخل سویس‌های فرموله شده با نسبت‌های مختلف نانوکپسول و نیتریت سدیم قادر اختلاف معنی‌دار تیمارهای فرموله شده طی دوره نگهداری (بر خلاف شاهد) تغییر معنی‌داری نداشتند ($p > 0.05$). بنابر یافته‌ها، نانوکپسول‌های حامل آستاگزانین پتانسیل بالقوه‌ای برای جایگزینی نیتریت سدیم در فرمولاسیون سویس به منظور بهبود خصوصیات میکروبی و بافتی دارند.

تاریخ های مقاله :

تاریخ دریافت: ۱۴۰۱/۰۶/۱۹

تاریخ پذیرش: ۱۴۰۱/۰۹/۱۲

کلمات کلیدی:

آستاگزانین،

نانوکپسول‌های حامل،

مالتوودکسترین، نیتریت سدیم،

سویس،

خصوصیات میکروبی و بافتی.

DOI: 10.22034/FSCT.19.131.143

DOR: 20.1001.1.20088787.1401.19.131.12.3

* مسئول مکاتبات:

yeganeh@sanru.ac.ir

۰/۲ درصد وزن بدن تعیین کردند. همچنین حد مجاز استفاده از نیتریت در فراورده‌های گوشتی 120 ppm عنوان شده است [۳]. رنگدانه‌های مستخرج از آبزیان به دلیل دارابودن خواص نگهدارندگی (آنتیاکسیدان و ضد میکروب) و رنگدهنده‌های سنتیک همواره به عنوان جایگزین نگهدارنده‌ها و رنگدهنده‌های مطرح بوده و هستند. یکی از رنگدانه‌هایی که غالباً از میکروجلبک‌ها بخصوص هماتوکوس استخراج می‌شود، آستاگرانتین است [۴]. این رنگدانه که رنگ صورتی تا قرمز دارد، دارای فعالیت آنتیاکسیدانی و ضد میکروبی می‌باشد که این خواص در تحقیقات گوناگون اثبات شده‌اند [۴ و ۵]. به دلیل همین ویژگی‌ها (رنگی و نگهدارندگی) شاید بتوان از این رنگدانه (به شرط عدم تغییر خواص حسی) در فرمولاسیون سوسیس استفاده کرد. از آنجا که ساختار رنگدانه‌ها ممکن است طی مراحل مختلف تولید مواد غذایی (به دلیل فعالیت‌های آنزیمی، تغییرات دما و pH) دستخوش تغییراتی شوند، لذا استفاده از یک تکنیک جهت حفاظت از ساختار و افزایش کارایی این ترکیبات ضروری به نظر می‌رسد. در چنین مواردی، شاید بهترین روش، نانو ریزپوشانی رنگدانه‌ها باشد. طی این فرایند کپسولی اطراف رنگدانه ایجاد می‌شود که از آن در شرایط نامساعد از تغییرات احتمالی حافظت می‌کند. امروزه در صنایع غذایی و دارویی، تکنیک نانو ریزپوشانی، موثرترین روش جهت حفاظت از ترکیبات مختلف غذایی و دارویی مانند انسان‌ها، پیتیدهای زیست‌فعال [۶]، آroma و طعم‌ها و همچنین رنگدانه‌های طبیعی [۷] است. این تکنیک موجب افزایش دوام و بقاء ترکیبات مختلف، عدم تاثیر فاکتورهای محیطی نظیر pH، نور و اکسیژن بر آنها و همچنین کنترل رهایش مواد محصور در دیواره و در نتیجه تاثیر بیشتر بر کیفیت ماده غذایی می‌گردد [۸ و ۹]. در فرآیند نانو ریزپوشانی از ترکیبات مختلفی جهت پوشش یا دیواره استفاده می‌شود. از جمله این ترکیبات می‌توان به نشاسته، کیتوزان، مالتودکسترین، شربت ذرت، دکسترن، ساکاراز، کربوکسی‌متیل‌سلوزلز، متیل‌سلوزلز، اتیل‌سلوزلز، نیترو‌سلوزلز، استات‌سلوزلز، صمغ عربی، آگار، آژئینات سدیم، کاراگینان، لیپوزوم، واکس، پارافین، بیزواکس، دی‌گلیسریدها، مونو‌گلیسریدها، روغن‌ها، گلوتن، کازئین، آب پنیر، ژلاتین، آلبومین، هموگلوبین، پلی‌پروپیلن و پلی‌وینیل استات اشاره کرد [۸ و ۹].

۱- مقدمه

نگرانی مصرف‌کنندگان فراورده‌های گوشتی نظری سوسیس و کالباس از وجود نگهدارنده‌های تهدیدکننده سلامتی و مصر، متخصصین حوزه صنایع غذایی را واداشته تا همواره به دنبال جایگزین کردن نگهدارنده‌های سنتیک با انواع طبیعی آن‌ها باشند. فراورده‌های گوشتی مانند غالب مواد غذایی دیگر، به دلیل دارابودن چربی همواره در معرض فساد اکسیداتیو و میکروبی قرار دارند. از این رو استفاده از ترکیبات آنتیاکسیدان و ضد میکروب در فرمولاسیون آن‌ها امری اجتناب ناپذیر است. نیترات‌پتانیم و نیتریت سدیم از جمله نگهدارنده‌هایی هستند که استفاده از آن‌ها در مواد غذایی (بخصوص فراورده‌های گوشتی نظیر سوسیس و کالباس، پنیر و ...) سابقه طولانی دارد. این دو نگهدارنده در فراورده‌های گوشتی به عنوان ضد میکروب (بخصوص علیه باکتری کلستریدیوم)، تثیت‌کننده رنگ قرمز گوشت و بهبوددهنده طعم کاربرد دارند [۱]. اما در کنار این مزایا، این نگهدارنده‌ها برای سلامتی انسان بسیار مضر بوده و موجب بروز بیمارهای سخت می‌گردد. این دو نگهدارنده پس از جذب از طریق گوارش، موجب تبدیل هموگلوبین^۱ به متهموگلوبین^۲ می‌شوند که این نوع از هموگلوبین قابلیت انتقال اکسیژن را ندارد و زمانی که غلظت آن به بیش از ۱۰ درصد هموگلوبین سالم برسرد، عوارض آن آشکار خواهد شد. همچنین این ترکیبات ممکن است در معده انسان با ترکیبات قابل نیتروزهشدن (آمین‌های ثانویه یا ثالثیه یا آمیدها) واکنش دهند که ماحصل آن بروز انواع بیماری‌های خطروناکی است که بخش‌های مختلف دستگاه گوارش و تنفس را درگیر خواهد کرد [۲]. به دلیل همین مضرات، باید سعی شود تا حد امکان دوزهای کمتری از نیترات و نیتریت سدیم در فراورده‌های گوشتی استفاده و یا اینکه کلاً یا بخشی از آن‌ها با نگهدارنده‌های طبیعی جایگزین شوند. کمیته تخصصی مشترک سازمان خوار و بار کشاورزی^۳ و سازمان بهداشت جهانی^۴ حد قابل قبول و رودی روزانه نیترات سدیم و نیتریت سدیم به بدن انسان را به ترتیب صفر تا ۰/۵ و صفر تا

1. Hemoglobin

2. Methemoglobin

3. FAO

4. WHO

در فرکانس ۲۰ کیلو هرتز انجام گرفت. بعد از این مرحله، استون حاوی مایع رویی، با سانتریفوژ نمونه‌ها در ۵۰۰۰ دور در دقیقه به مدت ۵ دقیقه جمع‌آوری شد. عمل استخراج مجدداً تکرار گردید. در انتهای آزمایش، حلال‌های استون حاصل از سانتریفوژ چند مرحله‌ای که حاوی رنگدانه آستاگزانتین بودند با هم ترکیب شدند و جهت قرائت غلظت آستاگزانتین با استفاده از دستگاه اسپکتروفتومتر در طول موج ۴۷۸ نانومتر مورد استفاده قرار گرفتند [۵، ۱۱ و ۱۲]. در ادامه فرایند، به منظور هیدرولیز یا صابونی کردن آستاگزانتین ابتدا مخلوط حاوی سود ۰/۰۲ نرمال و عصاره حاوی رنگدانه به مدت ۳ ساعت در دمای ۲۲ درجه سانتی‌گراد در مکان تاریک قرار داده شدند [۱۳]. به منظور خالص‌سازی آستاگزانتین مستخرج، ابتدا عصاره هیدرولیز شده حاوی آستاگزانتین، آب مقطر و ان‌هگزان با نسبت ۱:۱:۱ مخلوط شدند و سپس با سانتریفوژ در دور ۴۰۰۰g به مدت ۵ دقیقه، فرآیند جداسازی رنگدانه انجام گرفت. بعد از سانتریفوژ، فاز هگزان جمع‌آوری شد و فرآیند جداسازی، تا بی‌رنگ شدن کامل این فاز انجام گرفت. حلال آلی هگزان حاصل از سانتریفوژ با هم ترکیب و با استفاده از آب مقطر تا تنظیم pH در محدوده خشی شیستشو داده شد. در انتهای فرآیند، با استفاده از روتاری در دمای اتاق، حلال پراکنی انجام و سوسپانسیون حاوی رنگدانه، تغییض و به ۱۰ میلی‌لیتر کاهش داده شد و جهت تزریق به استون کروماتوگرافی آماده گردید. جهت خالص‌سازی آستاگزانتین از روش کروماتوگرافی ستونی استفاده شد. به این منظور، ستون مورد استفاده با استفاده از سیلیکاژل پر و بعد از تنظیم پارامترهای مختلف شامل flow rate (۰/۶۵ میلی‌لیتر در دقیقه)، فرکانس (۴۷۶ نانومتر)، دمای ستون (۳۰ درجه سانتی‌گراد) و میزان تزریق (۲۰ میکرولیتر) و نوع ستون (PDA)، دستگاه جهت تزریق آماده گردید. ۱۰ میلی‌لیتر از نمونه تغییض شده حاوی آستاگزانتین (حاوی یک گرم رنگدانه) جهت تزریق آماده شد. عمل خالص‌سازی در ابتدا با هگزان/استون (نسبت ۷ به ۳ حجمی/حجمی) به مدت ۴۰ دقیقه، سپس با هگزان/دی‌کلرومتان/استون (به نسبت ۵ به ۲/۵ به ۱ حجمی-حجمی) انجام گرفت. مدت زمان انجام عمل خالص‌سازی ۹۰ دقیقه بود. حلال‌های جمع‌آوری در مرحله قبل، با استفاده از دستگاه روتاری خارج شدند و رنگدانه باقیمانده مجدداً در ۱۰۰ میلی‌لیتر استون ترکیب شد. بعد از این مرحله،

مالتوکسترین از مشتقات نشاسته است و از منابع مختلف نشاسته‌ای مانند سیب زمینی، ذرت و گندم تهیه می‌گردد. این ماده بدليل حلالیت بالا در آب و عدم داشتن بو و رنگ شاخص، از مهم‌ترین مواد پلی‌ساکاریدی جهت نانو ریزپوشانی کردن مواد محسوب می‌شود [۹]. کازئینات‌سدیم، نمک سدیم کازئین و شامل عناصر ضروری برای بدن است. این نمک به میزان مطلوبی دارای حلالیت می‌باشد و می‌تواند در یک مخلوط آبی پخش شود [۱۰].

هدف تحقیق حاضر پس از استخراج رنگدانه از میکروجلبک هماتوکوکوس با استفاده از روش ترکیبی اسید-استون، نانو ریزپوشانی آن با پوشش ترکیبی مالتوکسترین-کازئینات‌سدیم و استفاده از نانوکپسول‌های حاصل در فرمولاسیون سوسپیس معمولی به عنوان جایگزین نیتریت سدیم است. در مراحل بعدی خصوصیات میکروبی و بافتی سوسپیس‌های فرموله شده با نسبت-های مختلف نیتریت سدیم و نانوکپسول‌های حامل آستاگزانتین ارزیابی خواهد شد.

۲- مواد و روش

۲-۱- استخراج، صابونی کردن و خالص سازی آستاگزانتین

روش مورد استفاده جهت استخراج آستاگزانتین، تکنیک ترکیبی اسید-استون (پیش تیمار اولیه با اسیدکلریدریک و سپس استخراج با استون خالص) بود. در این روش، ابتدا نمونه‌ها تحت تأثیر پیش تیمار اولیه اسیدکلریدریک قرار گرفتند و ۱ میلی‌لیتر از اسید ۴ مولار به ۱۰ میلی‌گرم از پودر هماتوکوکوس اضافه و مخلوط به مدت ۱ ساعت در دمای ۷۰ درجه بن‌ماری قرار داده شد. پس از خنکشدن، سوسپانسیون حاصل به مدت ۵ دقیقه در ۵۰۰۰ دور در دقیقه سانتریفوژ گردید. بعد از سانتریفوژ، نمونه‌ها دو مرتبه با آب مقطر شیستشو و مجدداً سانتریفوژ شدند و در نهایت عمل استخراج بر روی رسوب بدست آمده با استفاده از استون انجام گرفت. بدین ترتیب که ابتدا ۴ میلی‌لیتر از استون به رسوب اضافه شد و پس از ۱ ساعت همزدن در دمای اتاق، با استفاده از امواج فرماصوت، فرآیند سونیکاسیون به مدت ۱۰ دقیقه

۲-۳- ارزیابی خواص فیزیکی نانوکپسول‌ها

میانگین سایز ذرات و شاخص توزیع اندازه ذرهای پس از رقیق- کردن نمونه‌ها به میزان 10 ml برابر با بافر فسفات نمکی^۱ به روش تفرق نور پویا^۲ با استفاده از دستگاه زتسایزر (نانوسایزر، ۳۰۰۰، ساخت انگلستان، شرکت Malvern). زاویه 90° درجه و سل مخصوص با عرض 0.01 m (اندازه‌گیری شدند. به منظور اندازه‌گیری پتانسیل زتا سطح نانوکپسول‌ها، از دستگاه زتسایزر استفاده گردید. در این روش نانوکپسول‌ها با استفاده از $50\text{ mili-}\text{Molar}$ بافر فسفات ($\text{pH}=7/4$) به میزان 10 ml برابر رقیق شدند. ارزیابی پتانسیل زتا در زاویه 173° درجه سانتی‌گراد و طول موج 633 nm نانومتر هلیوم- تنگستن (در دمای 25°C درجه سانتی‌گراد) انجام شد [۱۷]. بازده فرآیند نانو ریزپوشانی نیز با استفاده از روش یان و همکاران (۲۰۱۴) تعیین گردید [۸].

۲-۴- تولید سوسيس

در مجموع ۶ نمونه سوسيس با مقادير مشخص از نانوکپسول‌های حامل آستاگرانتین و نيتريت سديم توليد شد (جدول ۱). تركيات اصلی سوسيس شامل گوشت سر و گردن گوساله (60 g درصد)، آب و يخ ($18/51\text{ g}$ درصد)، روغن سويا (14 g درصد)، نمک ($1/5\text{ g}$ درصد)، نشاسته ($2/8\text{ g}$ درصد)، ايزلوله سويا ($1/8\text{ g}$ درصد)، فسفات سديم ($0/4\text{ g}$ درصد)، آسكوريبيكاسيدي ($0/05\text{ g}$ درصد) و ادويء ($0/9\text{ g}$ درصد) بود. تمام مواد مذكور با يكديگر در كاتر (Seydelmann, Aalen) مخلوط و خمير حاصله در بچ‌های جداگانه در كاتر به همراه نيتريت سديم، نانوکپسول‌های حامل آستاگرانتین و آب و يخ باقيمانده تركيب شد. در مرحله بعد، بچ‌ها در بسته‌های استريل پلي‌آميدی به صورت جداگانه بسته‌بندی و به مدت يك ساعت در دمای 75°C درجه سانتی‌گراد پخته شدند. نهايتا محصول توليدشده بوسيله دوش آب سرد خنک و به يخچال با دمای $4\pm1^\circ\text{C}$ منتقل شد. دوره نگهداري ۲۸ روز بود و نمونه‌گيری جهت انجام آزمایشات ميكروبى با فاصله ۷ روز انجام گردید [۱۸].

چند قطره آب مقطر به حلال اضافه گردید و تركيب بدست آمده به مدت 72 h ساعت در دمای 4°C درجه قرار داده شد تا عمل كريستاليزه‌شدن انجام گيرد. رنگ كريستال‌های تشکيل شده به رنگ قرمز قهوه‌ای بود. فرآيند فوق مجدداً تكرار و در نهايـت نمونه جمع آوري شده فريـز درـاير گـردـيد [۱۶-۱۴].

۲-۵- نانو ريزپوشانـي كـرـدـن آـسـتاـگـرـانـتـين (ـتـولـيدـ) نـانـوـكـپـسـولـهـايـ حـامـلـ)

به منظور نانو ريزپوشانـي آـسـتاـگـرـانـتـينـ، اـزـ پـوشـشـ تـركـيـسيـ مـالـتـوـدـكـسـتـرـينـ وـ كـازـئـيـنـاتـ سـدـيـمـ باـ نـسـبـتـ ۱:۱ـ اـسـتـفـادـهـ وـ نـسـبـتـ پـوشـشـهـ بـهـ هـسـتـهـ نـيـزـ ۴ـ بـهـ ۱ـ درـ نـظـرـ گـرفـتـهـ شـدـ.ـ اـبـتـاـ سـوـسـپـانـسيـونـ هـمـگـنـيـ اـزـ مـالـتـوـدـكـسـتـرـينـ درـ آـبـ مـقـطـرـ (۴ـ گـرمـ درـ 50 mili-liter) تـهـيـهـ شـدـ.ـ سـپـسـ جـهـتـ تـهـيـهـ پـوشـشـ دـومـ،ـ سـوـسـپـانـسيـونـيـ اـزـ كـازـئـيـنـاتـ سـدـيـمـ درـ آـبـ مـقـطـرـ تـهـيـهـ (۴ـ گـرمـ درـ 50 mili-liter) اـيجـادـ وـ باـ قـارـادـادـ بـرـ روـيـ هـمـزـنـ مـغـنـاطـيسـيـ وـ دـمـايـ 45°C درـجهـ سـانتـيـگـرادـ بـرـايـ مـدـتـ 30 min دـقـيقـهـ،ـ سـوـسـپـانـسيـونـ هـمـگـنـيـ اـزـ آـنـ حـاـصـلـ شـدـ.ـ مـحـلـولـ حـاوـيـ كـازـئـيـنـاتـ سـدـيـمـ (پـسـ اـزـ كـاهـشـ دـمـاـ بـهـ 25°C درـجهـ سـانتـيـگـرادـ) بـهـ مـحـلـولـ دـارـايـ مـالـتـوـدـكـسـتـرـينـ اـضـافـهـ وـ 24 min دـاعـتـ درـ دـمـايـ 4°C درـجهـ سـانتـيـگـرادـ جـهـتـ اـفـزاـيشـ جـذـبـ آـبـ نـگـهـدارـيـ گـرـدـيدـ.ـ درـ مـرـحلـهـ اـنـتـهـاـيـ،ـ ۲ـ گـرمـ آـسـتاـگـرـانـتـينـ بـهـ مـحـلـولـ حـاوـيـ پـوشـشـهـ اـضـافـهـ وـ پـسـ اـزـ حلـشـدنـ آـنـ،ـ جـهـتـ Hilscher, UP200 (آلمان) با طول موج 40 kHz به مدت 15 min دـقـيقـهـ وـ تـعـدـادـ 6 secycles (زـمانـ هـرـ سـيـكلـ 30 ms ثـانـيـهـ وـ زـمانـ استـراـحتـ 15 ms ثـانـيـهـ بـيـنـ سـيـكلـهـاـ،ـ دـمـايـ 25°C درـجهـ سـانتـيـگـرادـ) استـفـادـهـ شـدـ.ـ بـهـ منـظـورـ كـاهـشـ بـيـشـتـرـ انـداـزـهـ ذـرـاتـ وـ اـفـزاـيشـ رـانـدـمـانـ ذـرـاتـ نـانـوـكـپـسـولـهـ،ـ اـزـ دـسـتـگـاهـ هـموـژـنـاـيـزـرـ باـ دورـ (ـاـولـتـراـرـاـكـسـ،ـ IKaـ،ـ اـيـتـالـيـاـ)ـ 10000 rev/min دورـ درـ دـقـيقـهـ بـرـايـ مـدـتـ 15 min دـقـيقـهـ استـفـادـهـ گـرـدـيدـ.ـ مـحـلـولـ حـاـصـلـ اـزـ فـرـآـيـنـدـ،ـ درـ دـمـايـ 18°C درـجهـ سـانتـيـگـرادـ منـجـمـدـ وـ باـ استـفـادـهـ اـزـ دـسـتـگـاهـ خـشـكـنـ اـنـجـمـادـيـ (ـVaco~2~Zirbusـ،ـ آـلمـانـ)ـ درـ فـشارـ 0.05 bar وـ دـمـايـ 50°C درـجهـ سـانتـيـگـرادـ خـشـكـ گـرـدـيدـ.

[۹-۷]

1. PBS

2. Dynamic Light Scattering

Table 1 Research treatments

Treatment	Sodium nitrite (mg/kg)	Nanocapsules carrying astaxanthin (mg/kg)
Control	-	-
A	120	-
B	-	120
C	90	30
D	60	60
E	30	90

۳-۵-۲- شمارش باکتری‌های انتروباکتریاسه^۴

به منظور شمارش باکتری‌های انتروباکتریاسه، ابتدا ۱ میلی‌لیتر از رقت‌های مورد نظر به پلیت‌های از قبل آماده‌شده منتقل شد. سپس ۱۵ میلی‌لیتر محیط کشت ویولت رد بایل گلوکر آگار^۵ (با دمای ۴۵ درجه سانتی‌گراد) به پلیت‌ها اضافه گردید. در مرحله بعد، نمونه‌های سوسیس با محیط کشت ترکیب و اجازه داده شد مخلوط در دمای محیط خنک شود. نهایتاً، ۵ میلی‌لیتر از محیط کشت مورد استفاده به پلیت (محتوی نمونه و محیط کشت) اضافه و عمل انکوباسیون پس از بستن محیط کشت به مدت ۲۴ ساعت در دمای ۳۷ درجه سانتی‌گراد انجام شد. نتایج شمارش (تعداد) نیز بر حسب لگاریتم واحد تشکیل‌دهنده کلنی/گرم (log cfu/g) گزارش گردید [۱۹].

۴-۵-۲- شمارش باکتری‌های لакتیک‌اسید^۶ و سودوموناس^۷

جهت شمارش باکتری‌های لакتیک‌اسید از محیط کشت MRS آگار استفاده و عمل گرمخانه‌گذاری در دمای ۳۷ درجه سانتی‌گراد به مدت ۴۸ ساعت انجام شد. محیط کشت مورد استفاده به منظور شمارش باکتری‌های سودوموناس، آگار پایه دارای مکمل انتخابی سیتریماید-فوسیدین-سفالوریدین^۸ بود. در این روش، دما و زمان انکوباسیون به ترتیب ۲۵ درجه سانتی‌گراد و ۳ روز در نظر گرفته شد. نتایج شمارش (تعداد) نیز بر حسب لگاریتم واحد تشکیل‌دهنده کلنی/گرم (log cfu/g) گزارش گردید [۱۹].

۴-۵-۲- ارزیابی ویژگی‌های میکروبی سوسیس‌ها

جهت بررسی ویژگی‌های میکروبی سوسیس‌ها (شمارش باکتری‌های مزو菲尔، سرماگرا، انتروباکتریاسه، سودوموناس و لاكتیک‌اسید)، کشت میکروبی نمونه‌ها در طی دوره نگهداری در روزهای صفر، ۷، ۱۴، ۲۱ و ۲۸ انجام شد.

۴-۵-۲- تهیه رقت از سوسیس‌های تیمارشده

به منظور تهیه رقت، ابتدا ۱۰ گرم نمونه سوسیس به کیسه استوماکر انتقال داده شد. در مرحله بعد، ۹۰ میلی‌لیتر آب پیتونه ۰/۱ درصد استریل به کیسه مذکور اضافه و به مدت ۲ دقیقه بوسیله استوماکر (Bagmixer Interscience, France) عمل مخلوط‌کردن انجام شد. سپس در لوله‌های آزمایش، ۹ میلی‌لیتر آب پیتونه ۰/۱ درصد استریل اضافه گردید. نهایتاً با استفاده از سمپلر، ۱ میلی‌لیتر از رقت‌های تهیه‌شده در شرایط کاملاً استریل به لوله‌های مذکور منتقل و ورتكس شد [۱۹].

۴-۵-۲- شمارش باکتری‌های مزو菲尔 هوازی^۹ و سرماگرا^{۱۰}

به منظور شمارش باکتری‌های مزو菲尔 هوازی، ابتدا ۱۰۰ میکرولیتر از رقت‌های مورد نظر در پلیت‌های حاوی محیط پلیت کانت آگار^{۱۱} به صورت سطحی کشت داده شده و در دمای ۳۷ درجه سانتی‌گراد به مدت ۷۲ ساعت گرمخانه‌گذاری و نتایج (تعداد) بر حسب لگاریتم واحد تشکیل‌دهنده کلنی/گرم (log cfu/g) گزارش گردید. جهت شمارش باکتری‌های سرماگرا، دما و زمان انکوباسیون به ترتیب ۷ درجه سانتی‌گراد و ۱۰ روز بود [۱۰].

4. Enterobacteriaceae bacteria count
5. Violet Red Bile Glucose Agar or (VRBGA)
6. Lactic acid bacteria count
7. Pseudomonas bacteria count
8. Fucidin-Cetrimide-Cephaloridine

1. Mesophilic bacteria counts
2. Psychrophilic bacteria counts
3. Plate Count Agar or PCA

و نیروی $0/05$ نیوتن^۳ اعمال شد. سپس با استفاده از منحنی به دست آمده و روابط مشخص [۲۲]، شاخص‌های سختی^۳، پیوستگی میان‌بافتی^۴، قابلیت ارتجاع^۵، میزان صمغی‌بودن^۶ و قابلیت جویدن^۷ تعیین شدند. به منظور انجام آزمون وارنر^۸ (آزمون برش)، ابتدا نمونه‌هایی از سوسیس‌های تیمارشده با قطر $1/27$ و ضخامت 2 سانتی‌متر تهیه و حداقل نیروی لازم جهت برش با استفاده از دستگاه ارزیابی بافت مذکور اندازه‌گیری گردید [۲۳].

۷-۲- تجزیه و تحلیل آماری

تحقیق پیش رو در قالب طرح کاملاً تصادفی اجرا و به منظور تجزیه و تحلیل داده‌ها از آنالیز واریانس یک‌طرفه (One way ANOVA) و آزمون دانکن در سطح اطمینان 95 درصد استفاده گردید. آنالیز داده‌ها بوسیله نرم‌افزار آماری SPSS و رسم جداول و اشکال با کمک نرم‌افزار EXCEL انجام شد.

۳- نتایج

۱-۳- خواص فیزیکی نانوکپسول‌های حامل

آستاگزانثین

در جدول 2 ، خواص فیزیکی نانوکپسول‌های حامل آستاگزانثین ارائه شده است. مطابق این جدول، میانگین سایز ذرات کمتر از 270 نانومتر، شاخص توزیع ذرهای حدود $0/42$ و پتانسیل زتای سطح نانوکپسول‌ها مثبت و در حد 47 میلی‌ولت است. در ادامه مشخص شد بازده ریز پوشانی فرایند نیز در حدود 85 درصد می‌باشد.

Table 2 Physical properties of nanocapsules carrying astaxanthin

Physical properties	Level
Average particle size (nm)	269.1 ± 3.95
Particle distribution index	0.423 ± 1.28
Zeta potential (mv)	$+46.71 \pm 2.88$
Encapsulation efficiency (%)	85.19 ± 4.09

- 2. Trigger force
- 3. Hardness
- 4. Cohesiveness
- 5. Springiness
- 6. Gumminess
- 7. Chewiness
- 8. Warner test

۶-۲- خصوصیات بافتی سوسیس‌های

فرموله شده

۶-۲-۱- ظرفیت نگهداری آب سوسیس‌ها

ظرفیت نگهداری آب سوسیس‌های فرموله شده، در روزهای صفر و 28 مطابق روش بالیگا و مادایه (۱۹۷۰) تعیین شد [۲۰]. به این صورت که ابتدا چهار قطعه کاغذ صافی مریع به ابعاد $2/5$ به شکل تیمبل تا شده و در لوله‌های اپن دورف قرار گرفت و وزن شد. در مرحله بعد، $0/2$ گرم از سوسیس‌های تیمارشده در داخل آن قرار داده و در دور 1400 rpm به مدت 20 دقیقه سانتریفیوژ شد. پس اتمام عمل سانتریفیوژ، نمونه سوسیس بوسیله پنس از لوله‌های دستگاه خارج و لوله‌های اپن دورف به همراه کاغذ صافی جدا و وزن شد. نهایتاً، ظرفیت نگهداری آب سوسیس‌ها از طریق رابطه زیر محاسبه و به صورت درصد گزارش گردید.

$$\text{درصد آب آزاد شده} = \frac{\text{وزن نمونه قبل از سانتریفیوژ} - \text{وزن قبل و بعد از سانتریفیوژ}}{100}$$

$$\text{درصد آب آزاد شده} = 100 - \text{ظرفیت نگهداری آب}$$

۶-۲-۲- تخلخل سوسیس‌ها

آزمون تخلخل سوسیس‌ها در روزهای صفر و 28 ارزیابی شد. به این صورت که نمونه سوسیس‌ها به ضخامت 1 سانتی‌متر برش داده شدند. سپس این قطعات با استفاده پویشگر مسطح با وضوح 300 dpi تصویربرداری شدند. نهایتاً به منظور سنجش خصوصیات هر تصویر از نرم‌افزار ایمیج جی^۱ $1/4$ استفاده شد [۲۱].

۶-۲-۳- افت پخت سوسیس‌ها

این شاخص (در روزهای صفر و 28) به صورت درصدی از اختلاف وزن سوسیس‌ها قبل و بعد از سرخ‌کردن تعیین و بر حسب درصد گزارش گردید [۲۰].

۶-۴- آزمون‌های بررسی پروفایل بافتی سوسیس‌ها

به منظور ارزیابی پروفایل بافتی سوسیس‌های فرموله شده (در روزهای صفر و 28) از دستگاه ارزیابی بافت (ستام، STM-20، ایران) استفاده شد. جهت انجام آزمون‌های رئولوژیکی، دو سیکل با 50 درصد فشردگی و به کمک سل بارگذاری 5 تا 50 کیلوگرم

1. Image j

۲-۲-۳- شمارش باکتری‌های سرماگرا

در شکل ۲، میزان باکتری‌های سرماگرای تیمارهای تحقیق ارائه شده است. مطابق این شکل، حداقل میزان باکتری‌های سرماگرا در طول دوره نگهداری مربوط به شاهد ($p<0.05$) و حداقل آن نظر سطح باکتری‌های مذکور فاقد اختلاف معنی‌دار بودند ($p>0.05$) اما در روز ۲۸، اختلاف تیمار D با دو تیمار دیگر معنی‌دار شد ($p<0.05$). شمارش باکتری‌های سرماگرا در تیمار شاهد در روز ۲۸، ۱۲/۷۱ اما در تیمارهای A، C و D به ترتیب شاهد در روز ۲۸، ۵/۲۳ و ۶/۳۱ لگاریتم واحد تشکیل دهنده کلنبی بر گرم بود. سطح باکتری‌های سرماگرای دو تیمار B و E تا اواسط دوره نگهداری (روز ۱۴) اختلاف قابل ملاحظه‌ای نداشت ($p>0.05$) اما در روزهای ۲۱ و ۲۸ اختلاف سطح باکتری‌های مذکور در دو تیمار، معنی‌دار شد و تیمار B مقادیر بیشتری از باکتری‌های سرماگرا را نشان داد ($p<0.05$). به طور کلی این دو تیمار حاوی مقادیر بیشتری از باکتری‌های مذکور نسبت به تیمارهای A، C و D بودند ($p<0.05$).

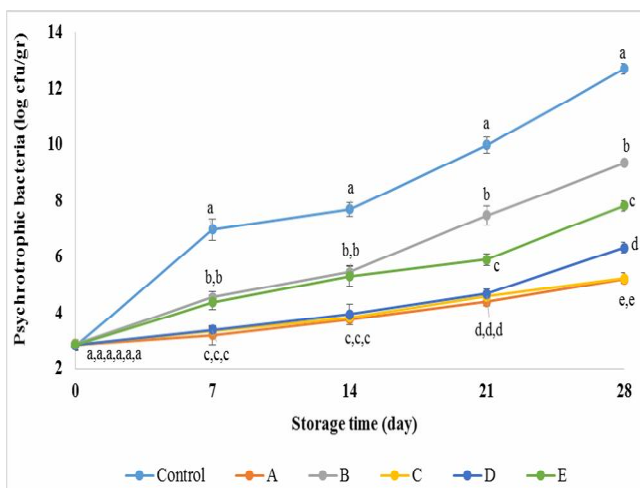


Fig 2 Psychrotrophic bacteria count of research treatments during storage time (log cfu/gr)

*Different letters on each day indicate significant differences between the data ($p<0.05$).

*Control: without sodium nitrite and nanocapsules carrier astaxanthin, A: 120 mg/kg sodium nitrite, B: 120 mg/kg nanocapsules carrier astaxanthin, C: 90 mg/kg sodium nitrite + 30 mg/kg nanocapsules carrier astaxanthin, D: 60 mg/kg sodium nitrite + 60 mg/kg nanocapsules carrier astaxanthin, E: 30 mg/kg sodium nitrite + 90 mg/kg nanocapsules carrier astaxanthin

۲-۳- ارزیابی خصوصیات میکروبی تیمارهای

تحقیق

۱-۲-۳- شمارش باکتری‌های مزو菲尔 هوازی

در شکل ۱، میزان باکتری‌های مزو菲尔 شاهد و سوسیس‌های فرموله شده ارائه شده است. مطابق این شکل، بیشترین میزان شمارش باکتری‌های مزو菲尔 در طول دوره نگهداری، مربوط به شاهد و کمترین حد آن مربوط به تیمارهای A، C و D است ($p<0.05$). این سه تیمار از نظر سطح باکتری‌های مزو菲尔 اختلاف معنی‌داری نداشتند ($p>0.05$) و شمارش کلی این باکتری‌ها در آن‌ها در روز ۲۸، به ترتیب ۴/۷۸، ۴/۸۶ و ۴/۹۲ لگاریتم واحد تشکیل دهنده کلنبی بر گرم بود. این میزان برای شاهد، ۱۱/۲۶ لگاریتم واحد تشکیل دهنده کلنبی بر گرم ثبت شد. تیمار E از نظر سطح باکتری‌های مزو菲尔 در روز ۷ با تیمارهای A، C و D و در روز ۱۴ با تیمار B اختلاف قابل ملاحظه‌ای نداشت ($p>0.05$) اما اختلافش در روزهای ۲۱ و ۲۸ با تیمارهای مذکور معنی‌دار شد ($p<0.05$). بعد از شاهد، بیشترین سطح باکتری‌های مذکور مربوط به تیمار B بود ($p<0.05$).

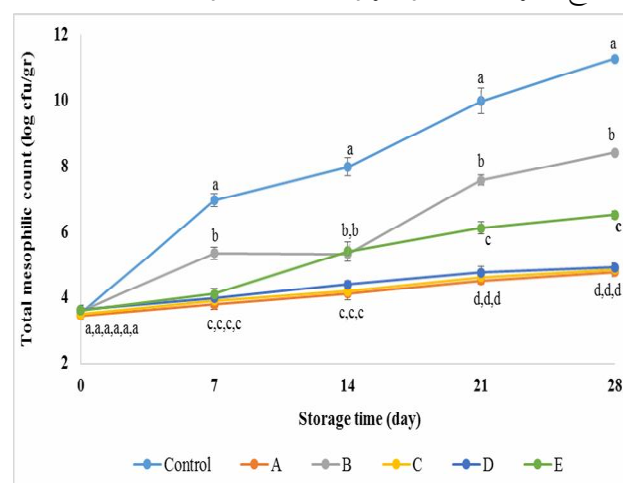


Fig 1 Total mesophilic count of research treatments during storage time (log cfu/gr)

*Different letters on each day indicate significant differences between the data ($p<0.05$).

*Control: without sodium nitrite and nanocapsules carrier astaxanthin, A: 120 mg/kg sodium nitrite, B: 120 mg/kg nanocapsules carrier astaxanthin, C: 90 mg/kg sodium nitrite + 30 mg/kg nanocapsules carrier astaxanthin, D: 60 mg/kg sodium nitrite + 60 mg/kg nanocapsules carrier astaxanthin, E: 30 mg/kg sodium nitrite + 90 mg/kg nanocapsules carrier astaxanthin

۴-۲-۳- شمارش باکتری‌های لакتیک اسید

شکل ۴، شمارش باکتری‌های لакتیک اسید تیمارهای تحقیق را نشان می‌دهد. مطابق این شکل، سه تیمار A، C و D ضمن اینکه در طول دوره نگهداری حداقل میزان باکتری‌های مذکور را نشان دادند ($p<0.05$)، هیچ اختلاف معنی‌داری با یکدیگر نداشتند (p). البته تیمار E نیز تا اواسط دوره (روز ۱۴) با این سه تیمار از نظر سطح باکتری‌های لакتیک اسید اختلاف قابل ملاحظه‌ای نداشت ($p>0.05$) اما در روزهای ۲۱ و ۲۸، اختلاف سطح، معنی‌دار شد و تیمار E مقادیر بیشتری از باکتری‌های مذکور را نشان داد ($p<0.05$). میزان باکتری‌های لакتیک اسید در تیمار A، C و D در روز صفر حدود ۲/۹۸ و در روز ۲۸ به ترتیب ۴/۳۹، ۴/۴۵ و ۴/۴۸ لگاریتم واحد تشکیل دهنده کلنی بر گرم بود. بالاترین میزان باکتری مورد بررسی در طول دوره نگهداری در شاهد ثبت شد ($p<0.05$) که این میزان از ۲/۹۵ در روز صفر به ۹/۵۱ لگاریتم واحد تشکیل دهنده کلنی بر گرم در روز ۲۸ افزایش یافت. سطح باکتری‌های لакتیک اسید تیمار B در كل دوره نگهداری به صورت معنی‌داری از شاهد کمتر و از تیمار E بیشتر بود ($p<0.05$). این سطح در روز صفر حدود ۲/۹۹ و در روز ۲۸ ۷/۹۵ لگاریتم واحد تشکیل دهنده کلنی بر گرم ثبت شد.

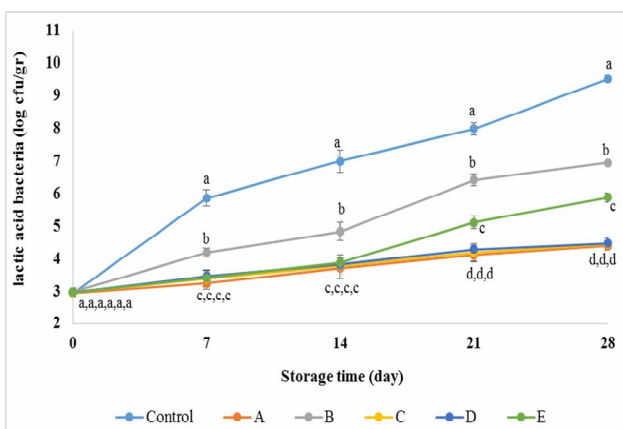


Fig 4 Lactic acid bacteria count of research treatments during storage time (log cfu/gr)

*Different letters on each day indicate significant differences between the data ($p<0.05$).

*Control: without sodium nitrite and nanocapsules carrier astaxanthin, A: 120 mg/kg sodium nitrite, B: 120 mg/kg nanocapsules carrier astaxanthin, C: 90 mg/kg sodium nitrite + 30 mg/kg nanocapsules carrier astaxanthin, D: 60 mg/kg sodium nitrite + 60 mg/kg nanocapsules carrier astaxanthin, E: 30 mg/kg sodium nitrite + 90 mg/kg nanocapsules carrier astaxanthin

۳-۲-۳- شمارش باکتری‌های انتروباکتریا

در شکل ۳، میزان باکتری‌های انتروباکتریا شاهد و سوسیس‌های فرموله شده با مقادیر مختلف نیتریت‌سدیم و نانوکپسول‌های حامل آستاگرانتین ارائه شده است. همانطور که در این شکل مشاهده می‌شود، کمترین میزان این باکتری‌ها در روزهای نمونه‌برداری در تیمارهای A، C و D ثبت شد ($p<0.05$). این سه تیمار از نظر شمارش باکتری‌های انتروباکتریا اختلاف معنی‌داری نداشتند ($p>0.05$). در تیمارهای مذکور، سطح این باکتری‌ها در روز صفر، ۱/۱۵ و در روز ۲۸، به ترتیب ۳/۵۱ و ۳/۶۴ لگاریتم واحد تشکیل دهنده کلنی بر گرم بود. دو تیمار E و B در طول دوره نگهداری از نظر شمارش باکتری‌های انتروباکتریا دارای اختلاف معنی‌دار بودند و به ترتیب در رده‌های بعدی قرار گرفتند ($p<0.05$). در واقع شمارش این باکتری‌ها در دو تیمار مذکور بیشتر از تیمارهای A، C و D و کمتر از شاهد بود. در طول دوره نگهداری حداقل شمارش باکتری‌های انتروباکتریا در شاهد ثبت شد ($p<0.05$). میزان باکتری‌های مذکور در روز صفر در شاهد ۱/۱۴ و در روز ۲۸ ۸/۹۶ لگاریتم واحد تشکیل دهنده کلنی بر گرم بود.

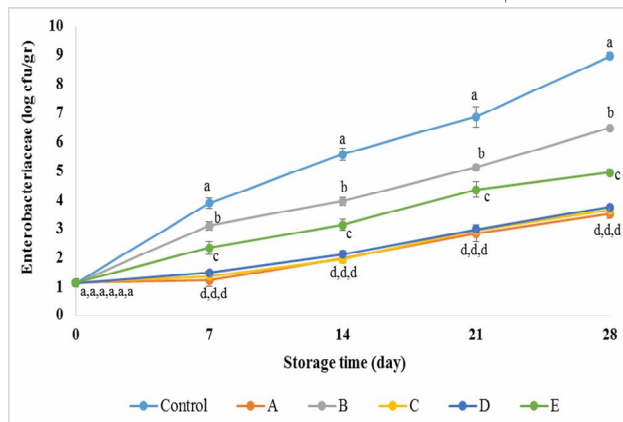


Fig 3 Entrobacteriaceae count of research treatments during storage time (log cfu/gr)

*Different letters on each day indicate significant differences between the data ($p<0.05$).

*Control: without sodium nitrite and nanocapsules carrier astaxanthin, A: 120 mg/kg sodium nitrite, B: 120 mg/kg nanocapsules carrier astaxanthin, C: 90 mg/kg sodium nitrite + 30 mg/kg nanocapsules carrier astaxanthin, D: 60 mg/kg sodium nitrite + 60 mg/kg nanocapsules carrier astaxanthin, E: 30 mg/kg sodium nitrite + 90 mg/kg nanocapsules carrier astaxanthin

کلنجی بر گرم در روز ۲۸ افزایش یافت. تیمار B در طول دوره نگهداری حاوی مقادیر کمتری از باکتری‌های سودوموناس نسبت به شاهد بود ($p < 0.05$). میزان این باکتری‌ها در تیمار مذکور در روز صفر حدود ۲/۸ و در روز ۲۸، ۷/۷۹ لگاریتم واحد تشکیل-دهنده کلنجی بر گرم ثبت شد.

۳-۳- ارزیابی خصوصیات بافتی سوسیس‌های فرموله شده

در جدول ۳، ظرفیت نگهداری آب، افت پخت و تخلخل شاهد و سوسیس‌های فرموله شده در روزهای صفر و ۲۸ ارائه شده است. همانطور که در این جدول مشاهده می‌شود، ظرفیت نگهداری آب در تیمارهای فرموله شده با مقادیر مختلف نیتریت سدیم و نانوکپسول‌های حامل آستاگرانتین به صورت معنی‌داری (نسبت به شاهد) ارتقا یافته است ($p < 0.05$). همچنین ظرفیت نگهداری آب در تیمارهای B، D و E فاقد اختلاف معنی‌دار ($p > 0.05$) و به صورت قابل ملاحظه‌ای بیشتر از تیمارهای A و C ($p > 0.05$). در ادامه مشخص شد، شاخص افت پخت تیمارهای فرموله شده نسبت به شاهد به صورت معنی‌داری کمتر است ($p < 0.05$). در این زمینه تیمارهای B، D و E اختلاف قابل ملاحظه‌ای ندارند ($p > 0.05$) و شاخص افت پخت آن‌ها به صورت قابل ملاحظه‌ای کمتر از تیمارهای A و C ($p > 0.05$) است ($p < 0.05$). مطابق جدول ۳، تخلخل بافت همه تیمارهای فرموله شده تقریباً یکسان ($p > 0.05$) و به صورت معنی‌داری کمتر از تخلخل شاهد است ($p < 0.05$). مقایسه خصوصیات بافتی تیمارها در روزهای صفر و ۲۸ نشان داد که ظرفیت نگهداری آب، افت پخت و تخلخل تیمارهای فرموله شده (با نیتریت سدیم و نانوکپسول‌های حامل آستاگرانتین) در طول دوره نگهداری (دو زمان صفر و ۲۸، دمای یخچال)، ثابت باقی ماندند ($p > 0.05$). اما این خصوصیات در تیمار شاهد در دو زمان مذکور به صورت معنی‌داری تغییر کردند ($p < 0.05$): به این صورت که ظرفیت نگهداری آب، کاهش اما افت پخت و تخلخل افزایش یافت.

۴-۵- شمارش باکتری‌های سودوموناس

در شکل ۵، میزان باکتری‌های سودوموناس شاهد و تیمارهای فرموله شده با نگهدارنده سنتیک و طبیعی ارائه شده است. همانطور که در این شکل مشاهده می‌شود، کمترین میزان باکتری‌های مذکور در تیمارهای A، C و D ثبت شده است ($p < 0.05$).

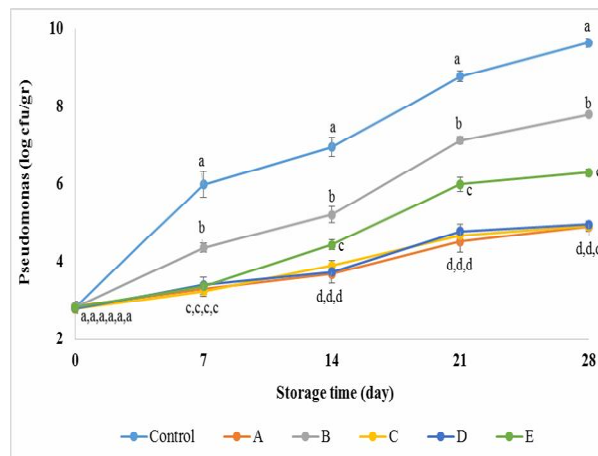


Fig 5 Pseudomonas count of research treatments during storage time (log cfu/gr)

*Different letters on each day indicate significant differences between the data ($p < 0.05$).

*Control: without sodium nitrite and nanocapsules carrier astaxanthin, A: 120 mg/kg sodium nitrite, B: 120 mg/kg nanocapsules carrier astaxanthin, C: 90 mg/kg sodium nitrite + 30 mg/kg nanocapsules carrier astaxanthin, D: 60 mg/kg sodium nitrite + 60 mg/kg nanocapsules carrier astaxanthin, E: 30 mg/kg sodium nitrite + 90 mg/kg nanocapsules carrier astaxanthin

این سه تیمار از نظر شمارش باکتری‌های سودوموناس در طول دوره نگهداری فاقد اختلاف معنی‌دار بودند ($p > 0.05$) و میزان این باکتری‌ها در آن‌ها در روز صفر، حدود ۲/۸ و در روز ۲۸ به ترتیب به ۴/۸۹، ۴/۹۱ و ۴/۹۶ لگاریتم واحد تشکیل‌دهنده کلنجی بر گرم ثبت گردید. مطابق شکل پنج، تیمار E تا روز ۷ از نظر سطح، اختلاف قابل ملاحظه‌ای با تیمارهای A، C و D نداشت ($p > 0.05$) اما پس از این روز، این اختلاف معنی‌دار شد و تیمار مذکور مقادیر بیشتری از باکتری‌های سودوموناس را نشان داد ($p < 0.05$). بیشترین میزان شمارش باکتری‌های سودوموناس در طول دوره نگهداری مربوط به شاهد بود که این شمارش از حدود ۲/۸ در روز صفر به ۹/۶۴ لگاریتم واحد تشکیل‌دهنده

Table 3 Water holding capacity, cooking loss and porosity of research treatments on days 0 and 28

Treatment/Index	Time (day)	Water holding capacity (%)	Cooking loss (%)	Porosity
Control	0	51.365±0.95 ^c	30.6452±0.76 ^b	23.1125±0.65 ^b
	28	44.521±0.36 ^d	35.4110±1.23 ^a	29.3931±0.44 ^a
A	0	57.986±0.29 ^b	26.2384±0.15 ^c	18.2364±0.15 ^c
	28	58.092±1.15 ^b	26.1039±0.34 ^c	18.2151±1.08 ^c
B	0	64.158±0.77 ^a	20.9516±0.96 ^d	18.1969±0.93 ^c
	28	64.099±0.98 ^a	21.1035±1.02 ^d	18.2115±0.42 ^c
C	0	58.145±0.83 ^b	26.2538±0.75 ^c	18.1146±0.14 ^c
	28	58.031±0.71 ^b	26.1154±0.12 ^c	18.1423±0.29 ^c
D	0	64.016±1.09 ^a	20.9965±0.18 ^d	18.1965±0.38 ^c
	28	63.986±0.58 ^a	20.9941±0.49 ^d	18.2456±1.19 ^c
E	0	64.248±0.63 ^a	20.9691±0.84 ^d	18.2135±0.86 ^c
	28	64.181±0.45 ^a	20.9785±1.01 ^d	18.1279±1.24 ^c

*Different letters in each column indicate significant differences between the data ($p<0.05$).

*Control: without sodium nitrite and nanocapsules carrier astaxanthin, A: 120 mg/kg sodium nitrite, B: 120 mg/kg nanocapsules carrier astaxanthin, C: 90 mg/kg sodium nitrite + 30 mg/kg nanocapsules carrier astaxanthin, D: 60 mg/kg sodium nitrite + 60 mg/kg nanocapsules carrier astaxanthin, E: 30 mg/kg sodium nitrite + 90 mg/kg nanocapsules carrier astaxanthin

نانوکپسول‌های حامل آستاگرانتین نسبت به شاهد، مقادیر بیشتری ارائه کردند ($p<0.05$)؛ ضمن اینکه این تیمارها (همه تیمارهای فرموله شده) در زمینه هر یک از دو شاخص مذکور قادر اختلاف معنی دار بودند ($p<0.05$). مقایسه تغییرات شاخص‌های سنجش بافت تیمارها در طول زمان نگهداری نشان داد که تیمارهای فرموله شده در روزهای صفر و ۲۸ مقادیر تقریباً برابری از هر شاخص ارائه کردند و از این نظر اختلاف معنی داری ثبت نشد ($p>0.05$). اما شاهد در طول دوره نگهداری از نظر شاخص‌های بافتی دچار تغییرات قابل ملاحظه‌ای شد ($p<0.05$)؛ به این صورت که برای هر شش شاخص سنجش بافت (مورد مطالعه) در روز ۲۸، مقادیر کمتری نسبت به روز صفر ثبت گردید.

در جدول ۴، برخی دیگر از خصوصیات بافتی سویسیس‌های فرموله شده در کنار شاهد در دو زمان صفر و ۲۸ (نگهداری در دمای یخچال) ارائه شده است. مطابق این جدول، در تیمارهای آستاگرانتین، شاخص‌های سختی، صمغی‌بودن، قابلیت جویدن و برش به صورت معنی داری نسبت به شاهد (روز صفر) کاهش یافتد ($p<0.05$). تیمارهای B، D و E ضمن عدم اختلاف معنی دار در هر یک از شاخص‌های مذکور ($p>0.05$)، مقادیر کمتری نسبت به تیمارهای A و C ($p>0.05$) نشان دادند. در مورد شاخص‌های قابلیت ارتتعاج و پیوستگی میان بافتی، تیمارهای فرموله شده با مقادیر مختلف نیتریت سدیم و

Table 4 Texture characteristics of research treatments

T/I	Time (day)	Hardness	Springiness	Cohesiveness	Gumminess	Chewiness	Cutting
Control	0	26.461±1.04 ^a	0.8135±0.04 ^b	0.6912±0.02 ^b	18.1489±0.15 ^a	18.1678±0.74 ^a	5.6514±0.05 ^a
	28	14.594±0.15 ^d	0.6949±0.01 ^c	0.5145±0.06 ^c	8.3541±0.08 ^d	7.9231±0.11 ^d	2.1652±0.04 ^d
A	0	21.925±0.37 ^b	0.9973±0.02 ^a	0.8705±0.05 ^a	15.6137±0.92 ^b	15.1528±0.62 ^b	4.8951±0.18 ^b
	28	22.112±0.31 ^b	0.9892±0.05 ^a	0.8812±0.08 ^a	15.4357±1.06 ^b	15.2423±0.89 ^b	4.9842±0.25 ^b
B	0	17.994±0.23 ^c	0.9886±0.03 ^a	0.8883±0.06 ^a	12.8892±0.67 ^c	11.9372±1.01 ^c	3.2563±0.08 ^c
	28	18.135±0.7 ^c	0.9923±0.04 ^a	0.8756±0.05 ^a	12.9248±0.18 ^c	11.9946±0.48 ^c	3.2834±0.1 ^c
C	0	21.985±0.52 ^b	0.9853±0.06 ^a	0.8796±0.05 ^a	15.7541±0.29 ^b	14.9836±0.39 ^b	4.8636±0.15 ^b
	28	21.931±0.18 ^b	0.9789±0.03 ^a	0.8752±0.04 ^a	15.5621±0.75 ^b	15.2921±0.14 ^b	4.9324±0.12 ^b
D	0	18.145±0.14 ^c	0.9785±0.09 ^a	0.8867±0.06 ^a	12.8935±0.32 ^c	12.1135±0.52 ^c	3.2531±0.06 ^c
	28	18.127±0.49 ^c	0.9761±0.05 ^a	0.8788±0.09 ^a	12.9163±0.15 ^c	11.9814±0.33 ^c	3.3112±0.05 ^c
E	0	17.989±0.97 ^c	0.9864±0.08 ^a	0.8775±0.02 ^a	12.9434±0.45 ^c	11.9548±0.09 ^c	3.2369±0.11 ^c
	28	18.115±0.21 ^c	0.9964±0.06 ^a	0.8811±0.06 ^a	12.9326±0.23 ^c	11.9669±0.21 ^c	3.2985±0.09 ^c

*Different letters in each column indicate significant differences between the data ($p<0.05$), T: Treatment, I: Index

*Control: without sodium nitrite and nanocapsules carrier astaxanthin, A: 120 mg/kg sodium nitrite, B: 120 mg/kg nanocapsules carrier astaxanthin, C: 90 mg/kg sodium nitrite + 30 mg/kg nanocapsules carrier astaxanthin, D: 60 mg/kg sodium nitrite + 60 mg/kg nanocapsules carrier astaxanthin, E: 30 mg/kg sodium nitrite + 90 mg/kg nanocapsules carrier astaxanthin

۴- بحث و نتیجه‌گیری

نگهدارنده‌ها و ترکیبات ضد میکروبی سنتیکی که در فراورده‌های غذایی مختلف استفاده می‌شوند، تهدیدی بالقوه‌ای برای سلامت مصرف‌کنندگان هستند. به همین دلیل جایگزینی این نگهدارنده‌های سنتیک با انواع طبیعی آن‌ها بسیار ضروری است. تحقیق حاضر هم به همین منظور پس از استخراج آستاگرانتین از میکروجلبک هماتوکوکوس و نانو ریزپوشانی آن با استفاده از پوشش ترکیبی مالتودکسترین-کازئینات سدیم، نانوکپسول‌های حامل را (با نسبت‌های مختلف) در فرمولاسیون سوسیس معمولی به عنوان جایگزین نیتریت سدیم استفاده و خصوصیات میکروبی و بافتی محصول را طی دوره نگهداری در دمای یخچال (۲۸ روز) مورد بررسی قرار داد.

باکتری‌های مزوفیل هوایی، اولین گروه میکروبی مورد ارزیابی در تحقیق حاضر بودند. میزان اولیه این باکتری‌ها (روز صفر) در سوسیس‌ها حدود ۳/۶ لگاریتم واحد تشکیل‌دهنده کلی برابر گرم بود. در تحقیق فاربر و همکاران (۱۹۸۸) تعداد اولیه باکتری‌های مزوفیل هوایی در سوسیس به صورت میانگین، ۵/۶۵ لگاریتم واحد تشکیل‌دهنده کلی برابر گرم گزارش شد [۲۴] که این میزان بیشتر از تعداد باکتری‌های مذکور در پژوهش حاضر است. همچنین در پژوهش فیاض‌فر و همکاران (۱۴۰۰) شمارش اولیه باکتری‌های مزوفیل هوایی در سوسیس‌های فرموله شده با انسان آویشن ۴/۳۹ لگاریتم واحد تشکیل‌دهنده کلی برابر گرم بود [۱۹] که این میزان هم از تعداد اولیه این باکتری‌ها در تحقیق حاضر بیشتر است. حد قابل قبول باکتری‌های مزوفیل هوایی در مواد غذایی و فراورده‌های گوشتی حدود ۶ تا ۷ لگاریتم واحد تشکیل‌دهنده کلی برابر گرم گزارش شده است [۲۵]. تیمارهای شاهد و B تحقیق پیش رو در روز ۲۸ از این حد عبور کردند اما سایر تیمارها با اختلاف زیاد از حد مجاز، در محدوده استاندارد قرار داشتند. از طرفی اعتقاد بر این است که شمارش باکتری‌های مزوفیل هوایی نمی‌تواند معیار خیلی دقیقی برای پذیرش یا رد فراورده‌های غذایی (گوشتی) باشد. چرا که اولاً این میکروگانیسم‌ها به دلیل حساسیت زیاد به حرارت، در زمان پخت زودتر از باکتری‌های دیگر از بین می‌روند. دوماً باکتری‌های

مزوفیل هوایی جز فلور میکروبی اصلی در گوشت و فراورده‌های آن نیستند [۲۶].

بخش عمده باکتری‌های سرماگرا را لاکتوباسیلوس‌ها تشکیل می‌دهند و اعتقاد بر این است که بیشترین فساد در فراورده‌های گوشتی توسط همین میکروگانیسم‌ها در دمای پائین انجام می‌شود [۱۹]. قابلیت و توانایی رشد باکتری‌های سرماگرا در دمای یخچال (4 ± 1 درجه سانتی‌گراد) از یک طرف و عدم رشد سایر میکروگانیسم‌ها در چنین دمایی، دلیل اصلی فساد میکروبی فراورده‌های گوشتی حرارت دیده در طول نگهداری است [۲۷ و ۲۸]. در استاندارد ملی ایران در مورد فراورده‌های گوشتی حرارت دیده هیچ حد مجازی برای باکتری‌های سرماگرا در نظر گرفته نشده است [۲۶]. در سوسیس‌های تهیه شده از گوشت بوقلمون و نگهدارنده طبیعی آویشن، حد اولیه این باکتری‌ها $3/5$ لگاریتم واحد تشکیل‌دهنده کلی برابر گرم بود [۱۹] که این میزان از شمارش اولیه باکتری‌های مذکور در تیمارهای پژوهش حاضر (حدود ۲/۹ لگاریتم واحد تشکیل‌دهنده کلی برابر گرم) بیشتر است.

باکتری‌های لاکتیک‌اسید یکی از میکروگانیسم‌های اصلی عامل فساد فراورده‌های پروتئینی نگهداری شده در دمای یخچال هستند [۲۹]. حد قابل قبول این باکتری‌ها در سوسیس و سایر فراورده‌های پروتئینی، ۷ لگاریتم واحد تشکیل‌دهنده کلی برابر گرم است [۳۰]. با توجه به نتایج تحقیق حاضر، هیچ کدام از تیمارهای فرموله شده طی دوره نگهداری از حد مجاز باکتری‌های لاکتیک-اسید عبور نکردند اما سطح باکتری‌های مذکور در تیمار شاهد در روز ۲۸ بالاتر از ۷ لگاریتم واحد تشکیل‌دهنده کلی برابر گرم بود که این مورد حاکی از فساد باکتریایی سوسیس‌های شاهد یا فاقد نگهدارنده (نیتریت سدیم یا نانوکپسول‌های حامل آستاگرانتین) در این روز است. در تحقیقی که خصوصیات میکروبی سوسیس‌های تهیه شده از گوشت بوقلمون ترکیب شده با آویشن شیرازی ارزیابی شد، سطح اولیه باکتری‌های لاکتیک‌اسید $3/21$ لگاریتم واحد تشکیل‌دهنده کلی برابر گرم گزارش شد که این میزان کمی بیشتر از تیمارهای تحقیق حاضر (حدود ۲/۹۵ لگاریتم واحد تشکیل‌دهنده کلی برابر گرم در روز صفر) می‌باشد. این تفاوت احتمالاً مربوط به اختلاف در نوع نگهدارنده طبیعی و گوشت مورد استفاده برای تهیه سوسیس است [۱۹].

نگهدارندگی دارند اما میزان اثرگذاری آنها با توجه به حد پارامترهای فساد میکروبی باید مورد ارزیابی دقیق قرار گیرد. از آنجا که آستاگزانتین در فرم نانوکپسول، دارای منشا طبیعی و فاقد مضرات است (بلکه مزایای بسیار زیادی در زمینه حفظ سلامت و پیشگیری و درمان بیماری‌های مختلف دارد)، می‌توان در غلظت‌های بالاتری از این رنگدانه به منظور نگهداری مواد غذایی استفاده کرد که این مورد می‌تواند موضوعی برای تحقیقات آتی می‌باشد. شاید اگر نانوکپسول‌های حامل آستاگزانتین در غلظت‌های بالاتر از 120 mg/kg در فرمولاتیون سوسیس استفاده شوند، کارائی بیشتری از مقدار 120 mg/kg نیتریت سدیم داشته باشند.

تحقیقات انجام شده پیرامون استفاده از آستاگزانتین به عنوان آنتی‌بacterیال در فرمولاتیون سوسیس و مواد غذایی بسیار محدود و در حد چند مطالعه می‌باشد؛ ضمن اینکه تاکنون پژوهشی در زمینه بکارگیری نانوکپسول‌های حامل آستاگزانتین با پوشش ترکیبی مالتودکسترین-کازئینات سدیم در فرمولاتیون سوسیس انجام نشده است. طی تحقیقی از غلظت‌های مختلف تیمول و آستاگزانتین به عنوان جایگزین نیتریت در فرمولاتیون سوسیس پروپیوتیک استفاده شد. نتایج نشان داد که ترکیب این دو ماده در طول دوره نگهداری سوسیس در دمای یخچال به مدت ۴۵ روز موجب کاهش باکتری‌های لакتیک‌اسید و گونه کلستریل‌بیوم پرفیزنس^۱ می‌گردد [۳۱] که این نتیجه با یافته‌های پژوهش حاضر تطابق دارد. در پژوهش عبدالمالک و همکاران (۲۰۱۶) از آستاگزانتین استخراج شده از ضایعات میگو^۲ به منظور افزایش زمان ماندگاری استیک مرغ در دمای یخچال استفاده شد. یافته‌های پژوهش مذکور ممید آن بود که تیمار دارای آستاگزانتین نسبت به شاهد در مهار باکتری کل، سرماگراها، کلیفرم مدفوعی، استافیلوکوکوس و سالمونلا اثرگذاری بیشتری داشت و شمارش باکتری‌های مذکور به صورت معنی‌داری در این تیمار کمتر بود. این پژوهشگران عنوان کردند که افزودن آستاگزانتین طبیعی می‌تواند پایداری میکروبیولوژیکی استیک مرغ را در طول زمان نگهداری بهبود بخشد [۳۲]. تحقیقات مختلفی نیز فعالیت

نتایج شمارش همه گروههای باکتریایی مورد مطالعه نشان داد که استفاده از نیتریت سدیم و نانوکپسول‌های حامل آستاگزانتین (هم به صوت منفرد و هم به شکل ترکیبی) در فرمولاتیون سوسیس می‌تواند بر کاهش بار باکتریایی نسبت به شاهد موثر واقع گردد. اما این دو نگهدارنده از نظر میزان اثرگذاری بر مهار رشد باکتری‌ها تفاوت‌هایی دارند که در بیشتر موارد این اختلاف‌ها معنی‌دار بوده است. مطابق یافته‌ها، تیمار A که صرفا حاوی 120 میلی‌گرم بر کیلوگرم نیتریت سدیم (حداکثر مجاز) بود، از نظر شمارش باکتریایی با دو تیمار C (حاوی 90 mg/kg نیتریت سدیم و 30 mg/kg نانوکپسول‌های حامل آستاگزانتین) و D (حاوی 60 mg/kg نیتریت سدیم و 60 mg/kg نانوکپسول‌های حامل آستاگزانتین) اختلاف معنی‌داری نداشت. البته در مورد باکتری‌های سرماگرا، تیمار D در روز ۲۸ مقادیر بالاتری از شمارش باکتری‌ها را نسبت به تیمارهای A و C نشان داد که این مورد در حد استثنای مطرح است. این نتایج ممید آن است که حد مجاز استفاده از نیتریت سدیم (120 میلی‌گرم بر کیلوگرم) در فرمولاتیون سوسیس، با 30 و 60 میلی‌گرم بر کیلوگرم نانوکپسول‌های حامل آستاگزانتین قابلیت جایگزینی قطعی دارد. این قطعیت از آنجا مطرح شده که در مقالات دیگر مستخرج از طرح پژوهشی انجام شده توسط محققین مقاله حاضر، شاخص‌های رنگی، خواص حسی و پایداری اکسیدانتیو سوسیس‌های فرموله شده با نانوکپسول‌های حامل آستاگزانتین ارزیابی و نتایج مثبتی ارائه شده است. در ادامه، یافته‌های تحقیق حاضر نشان داد که تیمار حاوی 30 میلی‌گرم بر کیلوگرم نیتریت سدیم و 90 میلی‌گرم بر کیلوگرم نانوکپسول‌های حامل آستاگزانتین (E) نیز در زمینه اثرگذاری بر رشد و تکثیر خانواده‌های باکتریایی مورد مطالعه موثر است تا جایی که در مورد برخی از گروه‌ها تا روز ۷ و 14 از نظر شمارش با تیمارهای A، C و D اختلاف معنی‌داری ارائه نکرد. تیماری که صرفا حاوی نانوکپسول‌های حامل آستاگزانتین (120 میلی‌گرم بر کیلوگرم) بود (B)، در زمینه مقابله با رشد و تکثیر گروههای باکتریایی نسبت به شاهد، کارائی بیشتری داشت. به این صورت که همواره در طول دوره نگهداری، سطح شمارش در این تیمار به صورت قابل ملاحظه‌ای کمتر از شاهد بود. این موضوع ممید آن است که نانوکپسول‌های حامل آستاگزانتین بدون جایگزینی با نیتریت سدیم نیز خاصیت

1. *Clostridium perfringens*

2. *Parapenaeus longirostris*

3. Total flora

4. Fecal coliform

بخار) از دست می‌دهد؛ لذا شاخص افت پخت کاهش می‌باید [۲۲]. در پژوهش حاضر نیز دقیقاً این موضوع تائید شد؛ به این صورت که حداقل شاخص افت پخت در تیمارهایی دارای بیشترین ظرفیت نگهداری آب سوسیس، رطوبت محصول افزایش می‌باید ظرفیت نگهداری آب سوسیس، رطوبت محصول افزایش می‌باید که این مورد موجب آبداری بیشتر و نرمی بافت فراورده گوشته می‌شود. در تحقیق حاضر با افرودن نیتریت سدیم و نانوکپسول-های حامل آستاگزانتین به بافت سوسیس، تخلخل بافت تیمارهای فرموله شده به صورت قابل ملاحظه‌ای نسبت به شاهد کاهش یافت اما تفاوت معنی‌داری در تخلخل تیمارهای مذکور ثبت نشد. به عبارت دیگر، اثرگذاری نیتریت سدیم و نانوکپسول‌های حامل آستاگزانتین بر تخلخل بافت سوسیس‌های فرموله شده، یکسان بود.

مطابق یافته‌ها با افرودن نیتریت سدیم و نانوکپسول‌های حامل آستاگزانتین به بافت سوسیس‌ها، شاخص‌های سختی، صمنی-بودن، قابلیت جویدن و برش بافت (نسبت به شاهد در روز صفر) به صورت معنی‌داری کاهش یافتند؛ ضمن اینکه این کاهش در تیمارهای حاوی بیش از ۳۰ میلی‌گرم بر کیلوگرم نانوکپسول-های حامل آستاگزانتین (B، D و E)، بیشتر بود. در واقع این تیمارها در هر یک از چهار شاخص مذکور اختلاف قابل ملاحظه نداشتند و کمترین مقادیر برای آن‌ها ثبت شد. وضعیت مشابهی نیز برای تیمارهای A و C گزارش گردید؛ با این تفاوت که این دو تیمار در هر یک از شاخص‌های مذکور مقادیر بیشتری از تیمارهای B و E ارائه کردند. عکس این چهار شاخص بافتی، با فرموله شدن سوسیس‌ها، شاخص‌های قابلیت ارتفاعی و پیوستگی میان بافتی تیمارها نسبت به شاهد به صورت معنی‌داری افزایش یافتند. اما تیمارهای فرموله شده در هر یک از دو شاخص مذکور، قادر اختلاف معنی‌دار و دارای سطوح یکسانی بودند. در واقع می‌توان ادعا کرد که اثرگذاری نانوکپسول‌های حامل آستاگزانتین و نیتریت سدیم بر این دو شاخص بافتی تفاوتی نداشت. مقایسه خصوصیات بافتی تیمارهای تحقیق در روزهای صفر و ۲۸ نشان داد که فرموله کردن سوسیس با ترکیباتی که مانع فساد اکسیداتیو و باکتریایی می‌شوند، می‌تواند از تغییرات اساسی و معنی‌دار بافت محصول جلوگیری کند. در تیمار شاهد که قادر نیتریت سدیم و نانوکپسول‌های حامل آستاگزانتین بود، شاخص-

ضد باکتریایی آستاگزانتین را ارزیابی و نتایج مشتی گزارش کردند. یافته‌های پژوهش ایرنا و همکاران (۲۰۱۷) در زمینه فعالیت ضد باکتریایی (قطر هاله عدم رشد) آستاگزانتین استخراج شده از میگو^۱ (با دو روش شیمیایی و فشار بالا) نشان داد که این رنگدانه قادر به مهار رشد و تکثیر باکتری‌های اشريشیاکلی^۲، انتروباکتر آئروژنر^۳، استافیلوکوکوس اورئوس^۴ و باسیلوس سوبیتیلیس^۵ است [۳۳]. در تحقیق دیگری، رنگدانه آستاگزانتین با استفاده از روش حلal استون از سه گونه خرچنگ^۶ استخراج و فعالیت ضد باکتریایی آن علیه باکتری اشريشیاکلی ایزوله شده از شیر و گوشت فاسد بررسی شد. یافته‌ها حاکی از قابلیت مطلوب رنگدانه در مقابله با باکتری مذکور بود. به گونه‌ای که قطر هاله عدم رشد در غلظت‌های ۳۰ و ۵۰ میکروگرم بر میلی‌لیتر از حدود ۱۲ میلی‌متر متغیر گزارش شد [۳۴].

مطابق یافته‌ها، با فرموله شدن سوسیس با استفاده از مقادیر مختلف نیتریت سدیم و نانوکپسول‌های حامل آستاگزانتین، ظرفیت نگهداری آب تیمارها به صورت قابل توجهی نسبت به شاهد افزایش یافته است. حداکثر این افزایش مربوط به تیمارهای D، B و E بود که نسبت به سایر تیمارها محتوی مقادیر بیشتری از نانوکپسول‌های حامل آستاگزانتین بودند. در واقع این سه تیمار ضمن عدم اختلاف معنی‌دار، دارای بیشترین ظرفیت نگهداری آب بودند. به نظر می‌رسد نانوکپسول‌های حامل آستاگزانتین با پوشش مالتودکسترین-کازئینات سدیم ظرفیت نگهداری آب بالایی دارند. این شاخص در تیمار دارای ۱۲۰mg/kg نیتریت سدیم (A) و تیمار دارای آستاگزانتین ۹۰mg/kg و ۳۰mg/kg نانوکپسول‌های حامل آستاگزانتین (C) تقریباً یکسان و در سطح پائین‌تری از تیمارهای B، D و E قرار داشت. ظرفیت نگهداری آب به صورت مستقیم بر شاخص افت پخت فراورده‌های غذایی موثر است؛ هر چه ظرفیت نگهداری آب بیشتر باشد، آن محصول طی سرخ کردن آب کمتری (به صورت

1. *Penaeus monodon*

2. *Escherichia coli*

3. *Enterobacter aerogenes*

4. *Staphylococcus auerus*

5. *Bacillus subtilis*

6. *Portunus sanguinolentus*, *Callinectes sapidus*, *Paralithodes brevipes*

مقرنون به صرفه بودن استخراج آستاگرانتین و تولید نانوکپسول‌های حامل باید مورد ارزیابی دقیق قرار گیرد.

۵- تشکر و قدردانی

این پژوهش با حمایت مالی دانشگاه علوم کشاورزی و منابع طبیعی ساری تحت قرارداد با شماره ۱۴۰۱-۰۳-۱۴۰۱ انجام شد که به این وسیله سپاسگزاری می‌شود.

۶- منابع

- [1] Toldrá, F., Aristoy, M. C., and Flores, M. (2009). Relevance of nitrate and nitrite in dry-cured ham and their effects on aroma development. *Grasas y Aceites*, 60(3), 291-296.
- [2] Ferguson, L. R., Philpott, M., and Karunasinghe, N. (2004). Dietary cancer and prevention using antimutagens. *Toxicology*, 198(1-3), 147-159.
- [3] Institute of Standards and Industrial Research of Iran. (2004). Susages. Characteristics and test methods. National standard number 2303 [In Persian].
- [4] Safari, R., Mirbakhsh, M., Ghaffari, H., Reyhani Poul, S., Rahmati, R., and Ebrahimzadeh, M. (2022). Effect of temperature, pH, and time factors on the stability and antioxidant activity of the extracted astaxanthin from haematococcus microalgae (*Haematococcus pluvialis*). *Iranian Scientific Fisheries Journal*, 31 (1), 109-120 [In Persian].
- [5] Dong, S., Huang, Y., Zhang, R., Wang, S., and Liu, Y. (2014). Four different methods comparison for extraction of astaxanthin from green alga *Haematococcus pluvialis*. *The Scientific World Journal*, 1-7.
- [6] Yeganeh, S., and Reyhani Poul. (2021). Nanoencapsulation of bioactive peptides from shrimp wastes enzymatic hydrolysis with combined coating of nanoliposome -chitosan and evaluation of antibacterial, antioxidant and antihypertensive activity of the product. *Iranian Scientific Fisheries Journal*, 30 (6), 83-95 [In Persian].

های سنجش بافت در طول دوره نگهداری دچار تغییرات قابل ملاحظه‌ای شدند؛ به این صورت که هر کدام از این شش شاخص طی ۲۸ روز نگهداری در دمای یخچال، به صورت معنی‌دار و با شبیه زیادی کاهش یافتند. احتمالاً فساد اکسیداتیو و باکتریایی سوسیس دلیل این تغییرات است. چرا که شاخص‌های سنجش بافت تیمارهای حاوی نیتریت سدیم و نانوکپسول‌های حامل آستاگرانتین در طول دوره نگهداری تغییر قابل ملاحظه‌ای نداشتند.

مطابق نتایج تحقیق حاضر، نانوکپسول‌های حامل آستاگرانتین با پوشش ترکیبی مالتودکسترین-کازئینات سدیم پتانسیل بسیار مطلوبی برای جایگزین شدن بخشی از نیتریت سدیم مورد استفاده در فرمولاسیون سوسیس (و احتمالاً سایر فراورده‌های گوشتی) دارند. به این صورت که تیماربندی با نسبت‌های ۱ به ۳ و ۱ به ۱ نانوکپسول به نیتریت سدیم (مجموع دو نگهدارنده معادل ۱۲۰ میلی‌گرم بر کیلوگرم)، حد بهینه است و از نظر کارائی مقابله با رشد و تکثیر باکتری‌ها با تیماربندی صرفاً نیتریت سدیم (۱۲۰ میلی‌گرم بر کیلوگرم) تفاوت معنی‌داری ندارد. همچنین تیمار ۳ به ۱ نانوکپسول به نیتریت سدیم نیز تا حدی اثرگذاری مشابه تیمارهای مذکور را دارد. ضمن اینکه اگر به جای ۱۲۰mg/kg نیتریت سدیم، از ۱۲۰mg/kg نانوکپسول‌های حامل آستاگرانتین در فرمولاسیون سوسیس استفاده شود، کاهش بار باکتریایی نسبت به شاهد ثبت خواهد شد و می‌توان گفت این تیمار خاصیت نگهدارنده‌ی دارد. در بخش خصوصیات بافتی می‌توان ادعا کرد که اثر نانوکپسول‌های حامل آستاگرانتین بر افزایش ظرفیت نگهداری آب سوسیس‌ها و همچنین کاهش سختی، افت پخت، صمغیت، قابلیت جویدن و برش بافت بیشتر از نیتریت سدیم است. ضمن اینکه اثرگذاری نیتریت سدیم و نانوکپسول‌های حامل آستاگرانتین بر شاخص‌های قابلیت ارجاعی، پیوستگی میان‌بافتی و تخلل یکسان می‌باشد. حضور این دو نگهداره سنتیک و طبیعی در فرمولاسیون سوسیس از تغییرات نامطلوب بافتی طی ۲۸ روز نگهداری در دمای یخچال جلوگیری می‌کند (بر خلاف شاهد). بنابراین با اندکی مطالعه بیشتر و آزمایشات پیشرفت‌های تر (که مقالات آن در قالب طرح پژوهشی، چاپ شده و یا خواهد شد)، می‌توان نانوکپسول‌های حامل آستاگرانتین را در فرمولاسیون سوسیس جایگزین نیتریت سدیم کرد؛ ضمن اینکه

- solvent system. *Biotechnology Progress*, 23(4), 866-871.
- [16] Sun, W., Lin, H., Zhai, Y., Cao, L., Leng, K., and Xing, L. (2015). Separation, Purification, and Identification of (3S, 3' S) - trans-Astaxanthin from *Haematococcus pluvialis*. *Separation Science and Technology*, 50(9), 1377-1383.
- [17] Hasani, Sh., Shahidi, M. and Ojagh. M. (2018). The production and evaluation of nanoliposomes containing bioactive peptides derived from fish wastes using the alkalase enzyme. *Research and Innovation in Food Science and Industry*, 8 (1), 31-44 [In Persian].
- [18] Khaleghi, A., Rezaei K., Kasai, M., Khosravi, K., and Soleymani, M. (2013). Evaluation of antioxidant properties of *Berberis crataegina* extract on fat oxidation of beef sausages during refrigerated storage. *Iranian Journal of Nutrition Sciences and Food Technology*, 7 (5), 345-353 [In Persian].
- [19] Fayazfar, S., Khanjari, A., Gandomi, H., Akhondzadeh, A., Gholami, F., and Moghimi, N. (2021). The effect of the essential oil of zataria multiflora boiss on the shelf life of fresh turkey sausages at refrigerated temperature under aerobic packaging. *Journal of Veterinary Research*, 76 (3), 323-341 [In Persian].
- [20] Baliga, B. R., and Madaiah, N. (1970). Quality of sausage emulsion prepared from mutton. *Journal of Food Science*, 35(4), 383-385.
- [21] Fidantsi, A., and Doxastakis, G. (2001). Emulsifying and foaming properties of amaranth seed protein isolates. *Colloids and Surfaces B: Biointerfaces*, 21(1-3), 119-124.
- [22] Nourbehesht, N., Shekarchizadeh, H., and Soltanizadeh, N. (2019). Production and evaluation of low-fat frankfurter sausage by emulsion filled gel based on inulin and rice bran oil. *Iranian Journal of Nutrition Sciences and Food Technology*, 14 (2), 85-94 [In Persian].
- [23] Fernández-López, J., Jiménez, S., Sayas-Barberá, E., Sendra, E., and Pérez-Alvarez, J. A. (2006). Quality characteristics of ostrich (*Struthio camelus*) burgers. *Meat Science*, 73(2), 295-303.
- [24] Farber, J. M., Malcolm, S. A., Weiss, K. F., & Johnston, M. A. (1988). Microbiological [7] Safari, R., Raftani Amiri, Z., Reyhani Poul, S., and Ghaffari, H. (2022). Nanoencapsulation of phycocyanin extracted from the alga *Spirulina (Spirulina platensis)* and use of resulting nanoparticles in ice cream formulation. *Iranian Journal of Food Science and Technology*, 123 (19), 145-159 [In Persian].
- [8] Yan, M., Liu, B., Jiao, X., and Qin, S. (2014). Preparation of phycocyanin microcapsules and its properties. *Food and Bioproducts Processing*, 92(1), 89-97.
- [9] Machado, A. R., Assis, L. M., Costa, J. A. V., Badiale-Furlong, E., Motta, A. S., Micheletto, Y. M. S., and Souza-Soares, L. A. (2014). Application of sonication and mixing for nanoencapsulation of the cyanobacterium *Spirulina platensis* in liposomes. *International Food Research Journal*, 21(6), 2201-2206.
- [10] Sallam, K. I. (2007). Antimicrobial and antioxidant effects of sodium acetate, sodium lactate, and sodium citrate in refrigerated sliced salmon. *Food Control*, 18(5), 566-575.
- [11] Sarada, R., Vidhyavathi, R., Usha, D., and Ravishankar, G. A. (2006). An efficient method for extraction of astaxanthin from green alga *Haematococcus pluvialis*. *Journal of Agricultural and Food Chemistry*, 54(20), 7585-7588.
- [12] Liu, Z. W., Zeng, X. A., Cheng, J. H., Liu, D. B., and Aadil, R. M. (2018). The efficiency and comparison of novel techniques for cell wall disruption in astaxanthin extraction from *Haematococcus pluvialis*. *International Journal of Food Science and Technology*, 53(9), 2212-2219.
- [13] Dewati, P. R., Rohman, A., and Budiman, A. (2020). A Preliminary Study of Extraction and Purification Processes of Astaxanthin from *Haematococcus pluvialis* a Natural Antioxidant. In *IOP Conference Series: Materials Science and Engineering* (Vol. 778, No. 1, p. 012032). IOP Publishing.
- [14] Yuan, J. P., and Chen, F. (2000). Purification of trans-astaxanthin from a high-yielding astaxanthin ester-producing strain of the microalga *Haematococcus pluvialis*. *Food Chemistry*, 68(4), 443-448.
- [15] Kang, C. D., and Sim, S. J. (2007). Selective extraction of free astaxanthin from *Haematococcus* culture using a tandem organic

- [29] Korkeala, H. J., and Björkroth, K. J. (1997). Microbiological spoilage and contamination of vacuum-packaged cooked sausages. *Journal of Food Protection*, 60(6), 724-731.
- [30] Feng, C. H., Sun, D. W., Martín, J. F. G., and Zhang, Z. H. (2013). Effects of different cooling methods on shelf-life of cooked jumbo plain sausages. *LWT-Food Science and Technology*, 54(2), 426-433.
- [31] Mohammadpourfard, I., Khanjari, A., Akhonzadeh Basti, A., Herrero-Latorre, C., Shariatifar, N., and Hosseini, H. (2021). Evaluation of microbiological, chemical, and sensory properties of cooked probiotic sausages containing different concentrations of astaxanthin, thymol, and nitrite. *Food Science and Nutrition*, 9(1), 345-356.
- [32] Abdelmalek, B. E., Sila, A., Ghissi, Z., Taktak, M. A., Ayadi, M. A., and Bougatef, A. (2016). The influence of natural astaxanthin on the formulation and storage of marinated chicken steaks. *Journal of Food Biochemistry*, 40(4), 393-403.
- [33] Irna, C., Jaswir, I., Othman, R., and Jimat, D. N. (2017). Document details. *International Food Research Journal*, 24, 508-513.
- [34] Suganya, V., and Asheeba, S. (2015). Antioxidant and antimicrobial activity of astaxanthin isolated from three varieties of crabs. *International Journal of Recent Scientific Research*, 6(10), 6753-6758.
- quality of fresh and frozen breakfast-type sausages sold in Canada. *Journal of Food Protection*, 51(5), 397-401.
- [25] Koutsoumanis, K., Lampropoulou, K., and Nychas, G. J. E. (1999). Biogenic amines and sensory changes associated with the microbial flora of Mediterranean gilt-head sea bream (*Sparus aurata*) stored aerobically at 0, 8, and 15 C. *Journal of Food Protection*, 62(4), 398-402.
- [26] Hosseini, H., Ahmadi, H., Akhavan, H., Ferdowsi, R., Khaksar, R., Shahraz, F., and Kamran, M. (2008). The growth pattern of aerobic mesophilic microorganisms, psychrophilic, mold and yeast in 4 groups of heated red meat products during the storage period. *Iranian Journal of Nutrition Sciences and Food Technology*, 3 (2), 33-40 [In Persian].
- [27] Borch, E., Nerbrink, E., and Svensson, P. (1988). Identification of major contamination sources during processing of emulsion sausage. *International Journal of Food Microbiology*, 7(4), 317-330.
- [28] Samelis, J., and Georgiadou, K. G. (2000). The microbial association of Greek taverna sausage stored at 4 and 10 C in air, vacuum or 100% carbon dioxide, and its spoilage potential. *Journal of Applied Microbiology*, 88(1), 58-68.



Use of nanocapsules carrying astaxanthin from *Haematococcus* microalgae coated by maltodextrin-sodium caseinate as a substitute for sodium nitrite in formulation of common sausage and evaluating microbial and texture properties of the product

Yeganeh, S.^{1*}, Reyhani Poul, S.²

1. Professor, Department of Fisheries, Faculty of Animal Science and Fisheries, Sari Agricultural Sciences and Natural Resources University, Sari, Iran.
2. PhD graduate, Department of Processing of Fishery Products, Faculty of Fisheries and Environment, Gorgan University of Agricultural Sciences and Natural Resources, Gorgan, Iran.

ARTICLE INFO**ABSTRACT****Article History:**

Received 2022/09/10

Accepted 2022/12/03

Keywords:

Astaxanthin,
Carrier nanocapsules,
Maltodextrin,
Sodium nitrite,
Sausages,
Microbial and texture characteristics

In the present research, after extracting astaxanthin from *Haematococcus* microalgae (*Haematococcus pluvialis*) and nanoencapsulation it by maltodextrin-sodium caseinate combination coating, carrier nanocapsules with different ratios replaced sodium nitrite (limit of 120 mg/kg) in the sausage formulation. Then, the microbial (count of mesophilic, psychrophilic, enterobacteriaceae, lactic acid and pseudomonas bacteria) and texture properties of the formulated sausages were evaluated and compared during the storage period (28 days at refrigerator temperature). The results showed that the treatments that were formulated with ratios of 1 (30 mg/kg) to 3 (90 mg/kg) and 1 (60 mg/kg) to 1 (60 mg/kg) of nanocapsule to sodium nitrite (C and D) have the same efficiency in terms of the ability to inhibit the growth and proliferation of bacterial groups compared to the treatment containing 120 mg/kg (A) of sodium nitrite ($p>0.05$) and in the all of storage period, the minimum count of bacteria is related to these treatments ($p<0.05$). The treatment containing 90 mg/kg of nanocapsules and 30 mg/kg of sodium nitrite (E) had the same ability as treatments A, C and D in inhibiting some bacterial groups until the middle of the storage period ($p>0.05$). Also, the count level in the treatment containing only nanocapsules (120 mg/kg, B) was significantly lower than the control ($p<0.05$). The results of measuring the texture characteristics of the treatments showed that the effect of nanocapsules carrying astaxanthin on increasing the water holding capacity of sausages and also reducing of cooking loss, hardness, gumminess, chewiness and texture cutting is more than sodium nitrite ($p<0.05$). Springiness, cohesiveness and porosity indices of sausages formulated with different proportions of nanocapsules and sodium nitrite had no significant difference ($p>0.05$) and were more favorable than the control ($p<0.05$). In the following, it was found that the texture indices of the formulated treatments (unlike the control) did not change significantly during the storage period ($p>0.05$). According to the findings, nanocapsules carrying astaxanthin have a potential to replace sodium nitrite in sausage formulation in order to improve microbial and texture properties.

DOI: 10.22034/FSCT.19.131.143

DOR: 20.1001.1.20088787.1401.19.131.12.3

*Corresponding Author E-Mail:
s.yeganeh@sanru.ac.ir